# 气滞胃痛颗粒中挥发性成分提取工艺的优化

郑 鹏<sup>1</sup>, 赵 昭<sup>2</sup>, 李佳佳<sup>1</sup>, 顿佳颖<sup>1</sup>, 李春花<sup>1\*</sup> (1. 河北中医学院药学院,河北 石家庄 050200; 2. 河北省图书馆,河北 石家庄 050011)

**摘要:目的** 优化气滞胃痛颗粒中挥发性成分的提取工艺。**方法** 在单因素试验基础上,以加水量、浸泡时间、提取时间为影响因素,挥发油提取率及柠檬烯、α-香附酮、香附烯酮含有量的综合评分为评价指标,响应面法结合信息熵优化提取-共沸精馏耦合工艺。**结果** 最佳条件为加水量 13 倍,浸泡时间 1.1 h,提取时间 6.5 h,综合评分 0.922 2。**结论** 该方法稳定可靠,可用于提取气滞胃痛颗粒中挥发性成分。

关键词:气滞胃痛颗粒:挥发性成分:提取:提取-共沸精馏耦合:响应面法:信息熵

中图分类号: R284.2 文献标志码: A 文章编号: 1001-1528(2019)06-1214-05

doi: 10. 3969/j.issn.1001-1528. 2019. 06. 003

# Extraction process optimization for volatile components from Qizhi Weitong Granules

ZHENG Peng<sup>1</sup>, ZHAO Zhao<sup>2</sup>, LI Jia-jia<sup>1</sup>, DUN Jia-ying<sup>1</sup>, LI Chun-hua<sup>1\*</sup>

(1. College of Pharmacy, Hebei University of Chinese Medicine, Shijiazhuang 050200, China; 2. Hebei Provincial Library, Shijiazhuang 050011, China)

**KEY WORDS:** Qizhi Weitong Granules; volatile components; extraction; aqueous extraction coupling rectification; response surface method; information entropy

气滞胃痛颗粒基于《伤寒论》中的四逆散,由枳壳、香附(炙)、元胡索(炙)、甘草(炙)、白芍、柴胡组成,已在全国数千家医院推广应用20余年<sup>[1]</sup>,有效率达85%以上。张春艳等<sup>[2]</sup>对气滞胃痛颗粒挥发性成分进行表征及药材归属,发现其挥发性成分来源于枳壳与香附,前者主要为柠檬烯,具有减痛、抑菌、消炎、防治癌症的作用<sup>[3]</sup>;α-香附酮、香附烯酮,具有抗菌消炎、镇痛、抑制子宫收缩等作用,在妇科疾病治疗中有广泛应用<sup>[4]</sup>。本实验基于响应面法结合信息熵法,优化气滞胃痛颗粒中挥发性成分提取工艺。

## 1 材料

1.1 仪器 SPH-300 氢气发生器、SPB-3 全自动空气源(北京 HP 分析技术研究所);安捷伦7890B气相色谱仪(美国安捷伦科技公司);LQ-A10002 电子天平(上海乐祺精密电子厂);BSM1

204 分析天平 (上海卓精仪器厂); KQ-300DE 超声波清洗器 (昆山市超声仪器有限公司)。

1.2 材料 枳壳 (批号 16081801)、醋香附 (批号 16120301) 购自安国药材市场,经河北省药品检验研究院孙宝惠老师鉴定符合 2015 年版《中国药典》一部相关项下规定。柠檬烯、α-香附酮(Z1708242)、香附烯酮(Z1705241) 对照品。无水乙醇、甲醇为分析纯(天津市永大化学试剂有限公司)。

#### 2 方法与结果

- 2.1 挥发油提取<sup>[5-6]</sup> 按组方比例称取枳壳、醋香附各 50 g, 粉碎后置于圆底烧瓶中,加适量水混匀,连接提取-共沸精馏耦合装置提取一定时间,按 2015 年版《中国药典》规定读取挥发油量,并计算其含有量。
- 2.2 单因素试验[7] 称取样品 4 份,其中 3 份按

收稿日期: 2018-08-22

基金项目:河北省高等学校科学技术研究重点项目(ZD2017245)

作者简介:郑 鹏 (1994—),男,硕士生,研究方向为中药药剂学。Tel: 15612792566

<sup>\*</sup>通信作者:李春花(1965—),女,教授,研究方向为中药制剂新剂型与新方法。Tel: 13803369966, E-mail: 13393378952@163.com

2015年版《中国药典》规定分别制成粗粉、中粉、细粉,另1份保持不变,固定浸泡时间3h、提取时间3h、加水量7倍,按"2.1"项下方法提取挥发油,测得4份样品提取率分别为0.25%、0.5%、0.45%、0.3%,即粗粉最高,故选择其作为粒径。

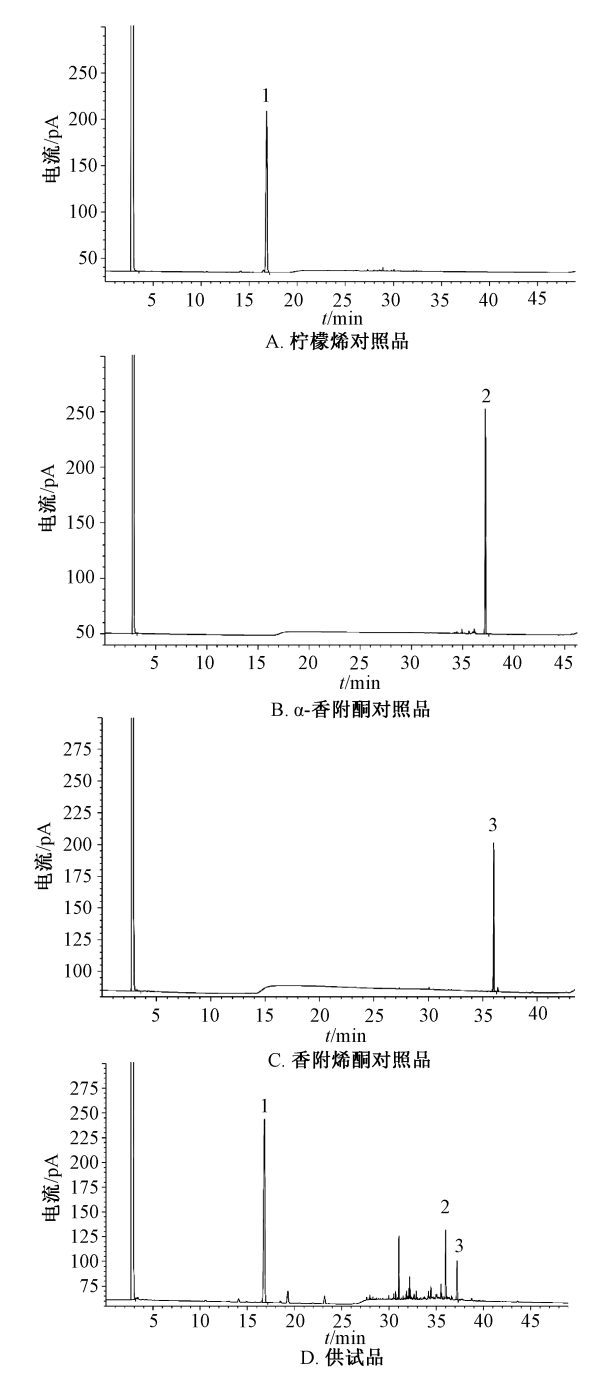
然后,对提取时间、加水量、浸泡时间进行考察。称取 5 份样品,固定浸泡时间 3 h、加水量 7 倍,提取 2、4、6、8、10 h,测得挥发油提取率分别为 0.45%、0.6%、0.7%、0.7%、0.7%,即提取 6 h 时最高,故选择 5、6、7 h;固定浸泡时间 3 h、提取时间 3 h,加入 7、9、11、13、15 倍量水,测得挥发油提取率分别为 0.5%、0.6%、0.65%、0.8%、0.8%,即加水量 13 倍时最高,故选择 12、13、14 倍;固定加水量 7 倍、提取时间 3 h,浸泡 0、1、2、3、4 h,测得挥发油提取率分别为 0.25%、0.35%、0.35%、0.35%、0.3%,即浸泡 1 h 时最高,故选择 0.5、1、1.5 h。

- 2.3 GC 法测定柠檬烯、α-香附酮、香附烯酮含 有量
- 2.3.1 色谱条件<sup>[8-9]</sup> 安捷伦 HP-5 毛细管色谱柱 (30 m×0. 25 mm×0. 25  $\mu$ m); 氢火焰离子化检测器 (FID) 检测;程序升温,见表 1;进样量 5  $\mu$ L;分流比 70:1;载气 N<sub>2</sub>;进样口温度 250 °C;检测器温度 260 °C;空气体积流量 390 mL/min;氢气体积流量 36 mL/min;尾吹气体积流量 15 mL/min;氮气体积流量 1 mL/min。色谱图见图 1。

表 1 升温程序 Tab. 1 Heating-up programs

| 温度/℃ | 升温速率/(℃·min <sup>-1</sup> ) | 保持时间/min |  |  |
|------|-----------------------------|----------|--|--|
| 55   | 1                           | 0        |  |  |
| 80   | 25                          | 0        |  |  |
| 170  | 1                           | 0        |  |  |
| 190  | 30                          | 0        |  |  |
| 300  | 0                           | 10       |  |  |
|      |                             |          |  |  |

- 2.3.2 对照品溶液制备 分别精密称取柠檬烯、 $\alpha$ -香附酮、香附烯酮对照品 7.90、6.70、1.92 mg,置于 5 mL 量瓶中,甲醇定容至刻度,即得  $(1.58、1.34、0.384 \ mg/mL)$ 。
- 2.3.3 供试品溶液制备 按 "2.1" 项下方法提取挥发油,无水硫酸钠干燥后 3 000 r/min 离心6 min,取 0.1 mL置于 50 mL量瓶中,甲醇溶解,即得。



1. 柠檬烯 2. α-香附酮 3. 香附烯酮

limonene 2. α-cyperone 3. cyperenone
 图 1 各成分 GC 色谱图

Fig. 1 GC chromatograms of various constituents

2.3.4 线性关系考察 取对照品溶液,在"2.3.1"项色谱条件下进样测定 5次,其中  $\alpha$ -香附酮、香附烯酮进样量分别为 0.5、1.0、1.5、2.0、2.5  $\mu$ L,柠檬烯分别为 1.0、2.0、3.0、4.0、5.0  $\mu$ L。以峰面积为纵坐标 (Y),进样量为横坐标 (X) 进行回归,结果见表 2,可知各成分在各自范围内线性关系良好。

表 2 各成分线性关系

Tab. 2 Linear relationships of various constituents

| 成分    | 回归方程                                | r        | 线性范围/μg     |
|-------|-------------------------------------|----------|-------------|
| 柠檬烯   | <i>Y</i> = 194. 18 <i>X</i> +13. 01 | 0. 999 7 | 1. 58~7. 90 |
| α-香附酮 | Y = 276.87X - 23.75                 | 0. 999 9 | 0. 67~3. 35 |
| 香附烯酮  | Y = 367.53X - 5.09                  | 0. 999 7 | 0. 19~0. 94 |

- 2.3.5 精密度试验 取对照品溶液,在"2.3.1" 项色谱条件下进样测定 6 次,测得柠檬烯、α-香附酮、香附烯酮峰面积 RSD 分别为 0.94%、0.52%、1.73%,表明仪器精密度良好。
- 2.3.6 稳定性试验 取供试品溶液,在 "2.3.1" 项色谱条件下于 2、4、6、8、10 h 进样测定,测得柠檬烯、 $\alpha$ -香附酮、香附烯酮峰面积 RSD 分别为 0.27%、0.16%、0.25%,表明溶液在 10 h 内稳定性良好。
- 2.3.7 重复性试验 按 "2.3.3" 项下方法制备 6 份供试品溶液,在 "2.3.1" 项色谱条件下进样测定,测得柠檬烯、 $\alpha$ -香附酮、香附烯酮峰面积 RSD 分别为 0.26%、0.12%、0.23%,表明赶快方法重复性较好。
- 2.3.8 加样回收率试验[10-11] 分别称取一定量柠

檬烯含有量已知的枳壳饮片及 α-香附酮、香附烯酮含有量已知的醋香附饮片,按 2015 年版《中国药典》规定制成粗粉,精密称取 6 份,每份 0.25 g,加入适量对照品溶液,按"2.3.3"项下方法制备供试品溶液,在"2.3.1"项色谱条件下进样测定,计算回收率。结果,柠檬烯、α-香附酮、香附烯酮平均加样回收率分别为 97.15%、97.83%、98.96%,RSD 分别为 1.35%、1.61%、0.43%。

#### 2.4 工艺优化

2.4.1 响应面法 在单因素试验基础上,采用 Design Expert 10.0 软件,选择加水量(A)、浸泡时间(B)、提取时间(C)作为影响因素,挥发油提取率及柠檬烯、香附酮、香附烯含有量的综合评分(Y)作为评价指标,设计3因素3水平、15个试验点的响应面分析试验(12个析因试验、3个中心试验)。因素水平见表3,结果见表4。

表 3 因素水平

Tab. 3 Factors and levels

| 水平 | A 加水量/倍 | B 浸泡时间/h | C 提取时间/h |
|----|---------|----------|----------|
| -1 | 12      | 0.5      | 5        |
| 0  | 13      | 1        | 6        |
| 1  | 14      | 1.5      | 7        |

表 4 试验设计及结果

Tab. 4 Design and results of tests

| 试验号 | A/倍 | B/h | C/h | 挥发油提取率/% | 柠檬烯/mg    | α-香附酮/mg | 香附烯酮/mg | Y 综合评分   |
|-----|-----|-----|-----|----------|-----------|----------|---------|----------|
| 1   | 13  | 0.5 | 5   | 1.5      | 1 057. 89 | 149. 99  | 131. 33 | 0. 720 4 |
| 2   | 13  | 1   | 6   | 1.7      | 1 790. 67 | 163. 91  | 136. 27 | 0.8803   |
| 3   | 13  | 1.5 | 7   | 1.7      | 1 817. 18 | 156. 92  | 125. 7  | 0. 851 7 |
| 4   | 14  | 1   | 5   | 1.7      | 1 789. 98 | 99. 55   | 103. 25 | 0.711 6  |
| 5   | 13  | 0.5 | 7   | 1.6      | 1 456. 35 | 142. 84  | 118. 03 | 0.7207   |
| 6   | 14  | 1.5 | 6   | 1.5      | 1 408. 92 | 167. 71  | 136. 35 | 0.8174   |
| 7   | 12  | 1.5 | 6   | 1.7      | 1 964. 79 | 156. 98  | 107. 82 | 0. 838 9 |
| 8   | 14  | 0.5 | 6   | 1.5      | 1 247. 13 | 151. 61  | 131. 33 | 0.7548   |
| 9   | 12  | 1   | 7   | 1.7      | 1 682. 37 | 135. 85  | 90. 64  | 0.722 6  |
| 10  | 12  | 1   | 5   | 1.5      | 1 214.06  | 157. 25  | 136. 19 | 0.768 2  |
| 11  | 13  | 1   | 6   | 1.6      | 1 666. 16 | 194. 47  | 155. 74 | 0. 945 1 |
| 12  | 12  | 0.5 | 6   | 1.6      | 1 250. 64 | 119. 98  | 94. 6   | 0. 631 5 |
| 13  | 13  | 1.5 | 5   | 1.8      | 1 826. 28 | 116. 35  | 85. 91  | 0.709 2  |
| 14  | 13  | 1   | 6   | 1.6      | 1 511. 15 | 189. 05  | 151. 74 | 0. 902 2 |
| 15  | 14  | 1   | 7   | 1.8      | 1 820. 49 | 167. 22  | 140. 68 | 0. 902   |

注:综合评分=(挥发油提取率/最大值)× $w_1$ +(柠檬烯含有量/最大值)× $w_2$ +( $\alpha$ -香附酮含有量/最大值)× $w_3$ +(香附烯酮含有量/最大值)× $w_4$ ,其中w为各指标权重系数,由信息熵法求得

2.4.2 信息熵[12-13] 1个评价指标系统中有m个评价对象、n个评价指标,其形成的原始指标数据

矩阵为  $Y = (y_{ij}) mn$ 。对表 5 数据处理,建立原始评价指标矩阵  $(X_{ii})$  mn 和概率矩阵  $(P_{ii})$  mn。

Chinese Traditional Patent Medicine

-1.5 1.7 1.7 1.7 1.6 1.5 1.7 1.5 1.7 1.5 1.6 1.6 1.8 1.6 1.8  $1\ 507.\ 89\ 1\ 790.\ 67\ 1\ 817.\ 18\ 1\ 789.\ 98\ 1\ 456.\ 35\ 1\ 408.\ 92\ 1\ 964.\ 79\ 1\ 247.\ 13\ 1\ 682.\ 37\ 1\ 214.\ 06\ 1\ 666.\ 16\ 1\ 250.\ 64\ 1\ 826.\ 28\ 1\ 511.\ 15\ 1\ 820.\ 49$ 149. 99 163. 91 156. 92 99. 55 142. 84 167. 71 156. 98 151. 61 135. 85 157. 25 194. 47 119. 98 116. 35 189. 05 167. 22

131, 33 136, 27 125, 70 103, 25 118, 03 136, 35 107, 82 131, 33 90, 64 136, 19 155, 74 94, 6 85, 91 151, 74 140, 68

0.061 2 0.069 0.069 0.069 0.065 0.061 0.069 0.061 0.069 0.061 0.065 0.065 0.073 0.065 0.073  $0.\ 045 \quad 0.\ 076 \quad 0.\ 077 \quad 0.\ 076 \quad 0.\ 062 \quad 0.\ 060 \quad 0.\ 083 \quad 0.\ 053 \quad 0.\ 071 \quad 0.\ 052 \quad 0.\ 071 \quad 0.\ 053 \quad 0.\ 078 \quad 0.\ 064 \quad 0.\ 077 \quad 0.\ 078 \quad 0.\ 0.\ 078 \quad 0.\ 0.\ 078 \quad 0.\ 0.\ 078 \quad 0.\ 0.\ 078 \quad 0.\ 0.\ 078 \quad 0.\ 0.\ 078 \quad 0.\ 088 \quad 0.\ 0.\ 088 \quad 0.\ 0.$  $0.\ 074 \quad 0.\ 068 \quad 0.\ 056 \quad 0.\ 064 \quad 0.\ 074 \quad 0.\ 058 \quad 0.\ 071 \quad 0.\ 049 \quad 0.\ 074 \quad 0.\ 084 \quad 0.\ 051 \quad 0.\ 047 \quad 0.\ 082 \quad 0.\ 076 \quad 0.076 \quad 0.076 \quad 0.084 \quad 0.\ 071 \quad 0.\ 084 \quad 0.\ 071 \quad 0.\ 0.\ 071 \quad 0.\ 0.\ 071 \quad 0.\ 0.\ 071 \quad 0.\ 0.\ 071 \quad 0.\ 0.\ 071 \quad 0.\ 0.\ 071 \quad 0.\ 0.\ 071 \quad 0.\ 0.\ 071 \quad 0.\ 0.\ 071 \quad 0.\ 0.\ 071 \quad 0.\ 0.\ 071 \quad 0.\ 0.$ 0.071

$$P_{ij} = X_{ij} / (\sum_{j=1}^{n} X_{ij})$$

 $P_{ij} = X_{ij} / (\sum_{j=1}^{n} X_{ij})$ 计算各项指标信息熵,得到评价指标  $H_i$ ,公 式为  $H_i = -1/\ln \eta \times \sum_{i=1}^{n} P_{ii} \times \ln P_{ii}$ , 得  $H_i = [0.999 2]$ 0.994 3 0.994 9 0.994 3]。再计算各指标权重 系数  $W_i$ , 公式为  $W_i = \frac{1-H_i}{\displaystyle\sum_{i=1}^m \left(1-H_i\right)}$ , 得  $W_i =$ 

[0.041 1 0.331 2 0.298 5 0.329 2], 分别代 表挥发油提取率及柠檬烯、α-香附酮、香附烯酮含 有量。

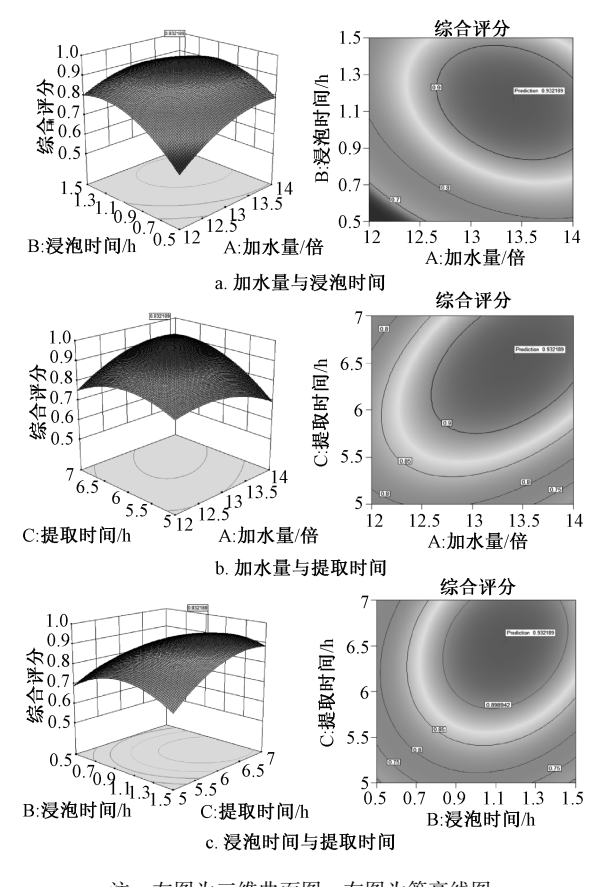
方程拟合与分析[14] 2, 4, 3 通过 Design Expert 10.0 软件对表 4 数据进行多元回归拟合分析、得方 程为 Y = 0.91+0.029A+0.049B+0.037C-0.036AB+  $0.061AC + 0.035BC - 0.061A^2 - 0.088B^2 - 0.070C^2$ , 方差分析见表5。

表 5 方差分析 Tab. 5 Analysis of variance

| 来源             | 离均差平方和                  | 自由度 | 均方                      | F 值    | P 值     |
|----------------|-------------------------|-----|-------------------------|--------|---------|
| 模型             | 0. 11                   | 9   | 0. 013                  | 12. 63 | 0.006 1 |
| A              | 6. $880 \times 10^{-3}$ | 1   | 6. 880×10 <sup>-3</sup> | 6.81   | 0.047 7 |
| В              | 0.019                   | 1   | 0.019                   | 19.04  | 0.007 3 |
| C              | 0.011                   | 1   | 0.011                   | 10.79  | 0.0219  |
| AB             | 5. $242 \times 10^{-3}$ | 1   | 5. 242×10 <sup>-3</sup> | 5. 19  | 0.0717  |
| AC             | 0.015                   | 1   | 0.015                   | 14. 98 | 0.0118  |
| BC             | 4. $886 \times 10^{-3}$ | 1   | 4. 886×10 <sup>-3</sup> | 4. 54  | 0.079 1 |
| $\mathbf{A}^2$ | 0.014                   | 1   | 0.014                   | 13. 39 | 0.014 6 |
| $\mathbf{B}^2$ | 0.029                   | 1   | 0.029                   | 28. 33 | 0.003 1 |
| $C^2$          | 0.018                   | 1   | 0.018                   | 17. 95 | 0.008 2 |
| 残差             | $5.050 \times 10^{-3}$  | 5   | $1.010 \times 10^{-3}$  | _      | _       |
| 失拟项            | 2. $877 \times 10^{-3}$ | 3   | 9. 589×10 <sup>-3</sup> | 0.88   | 0.5700  |
| 误差             | 2. 173×10 <sup>-3</sup> | 2   | $1.087 \times 10^{-3}$  | _      | _       |
| 总离差            | 0. 12                   | 14  | _                       | _      | _       |

由表可知,模型有显著影响 (P<0.01),失拟 项不显著 (P>0.05) 不显著, 表明模型真实可靠: 各因素影响程度依次为 B>C>A; 各一次项、各二 次项、交互项 AC 有显著影响 (P < 0.05, P <

(0.01);  $R^2 = 0.9579$ ,  $R_{adi}^2 = 0.8820$ , 表明该模型 可解释 88. 20% 响应值的变化; r=0. 916 7, 表明响 应值的变化有 91.67% 来源于所选变量,响应面 图<sup>[15-16]</sup>见图 2。通过 Design Expert 10.0 软件分析, 得到最优工艺为加水量 13.418 倍, 浸泡时间 1.149 h, 提取时间 6.518 h, 考虑到实际操作情 况,将其修正为加水量13倍,浸泡时间1.1h,提 取时间 6.5 h。



注: 左图为三维曲面图, 右图为等高线图

图 2 各因素响应面图

Fig. 2 Response surface plots for various factors

采用"2.4.3"项下优化工艺 2.4.4 验证试验 进行3批验证试验,测得综合评分分别为0.9316、 0.912 0、0.923 0、平均 0.922 2、与模型预测值 0.932 2 相当(偏离率为 1%), 表明模型预测性良

好,稳定可靠。

### 3 讨论

正交试验只能进行线性数学模型拟合<sup>[17]</sup>,确定单一因素对试验结果的影响,但往往与真实值有较大差异;响应面法通过 Design Expert 10.0 软件,可更直观地分析各交互因素对试验结果的影响,结果与真实值差异较小。

目前,关于挥发油最佳提取工艺的研究大多仅选择其提取率作为评价指标,但所含有效成分含有量也是其发挥药效的重要因素。本实验先对挥发油提取率进行单因素试验,再综合柠檬烯、α-香附酮、香附烯酮含有量进行响应面优化,以期提高其准确性。由于柠檬烯含有量与香附烯酮、α-香附酮有明显差异,易于提取前者的方法不一定适合后两者,故再通过信息熵赋予各指标权重系数,计算其综合评分,可使优化工艺更严谨,并能有效提高气滞胃痛颗粒中挥发油含有量,为该制剂进一步开发提供科学依据。

#### 参考文献:

- [1] 许雯雯,王 帅,孟宪生,等.基于抗炎镇痛作用的气滞 胃痛颗粒颗粒有效组分活性研究[J].时珍国医国药, 2013,24(2):295-298.
- [2] 张春艳,包永睿,孟宪生,等.气滞胃痛颗粒挥发性成分 表征及药材归属研究[J].中南药学,2014,12(7): 654-657.
- [3] 舒尊鹏,胡书法,翟亚东,等.中药枳壳化学成分及药理作用研究[J].科技创新与应用,2012(7A):8-9.
- [4] 田友清,丁 平. 香附挥发油的研究进展及其开发前景 [J]. 中国药业, 2010, 19(3): 1-2.
- [5] 耿榕徽,姜福义,王春民,等.提取-共沸精馏耦合工艺提取挥发油制备颈复康颗粒的活血化瘀作用[J].中国实验

- 方剂学杂志, 2013, 19(2): 239-242.
- [6] 杨宇杰,刘振虹,王春民,等.提取-共沸精馏耦合工艺提取挥发油制备颈复康颗粒的抗炎镇痛作用[J].中国实验方剂学杂志,2013,19(5):274-278.
- [7] 潘 磊,郑 柳,牛 卉,等.细辛挥发油成分提取与甲基丁香酚含量测定的研究进展[J].时珍国医国药,2015,26(4):967-970.
- [8] 钟才宁,何 敏,杨再波,等.均匀设计优化野菊花挥发油提取工艺及抗氧化研究[J].时珍国医国药,2009,20(4):888-889.
- [9] 张菲菲,马永建,孙桂菊,等. 菊花挥发油提取工艺研究 [J]. 时珍国医国药,2008,19(4):834-836.
- [10] 刘继鑫,王克霞,李朝品.水蒸气蒸馏法提取中药挥发油存在的问题及解决方法[J].时珍国医国药,2008,19(1):97-98.
- [11] 袁子民,王 静,吕 佳,等.正交法优选肉豆蔻挥发油 提取工艺[J]. 时珍国医国药,2005,16(11);1063-1064.
- [12] 王师菡,王 阶,何庆勇,等.基于信息熵法提取名老中 医治疗冠心病心绞痛的药对[J].中华中医药学刊,2008, 26(10):2150-2152.
- [13] 郭志忠,魏 滨,孙继佳,等.基于信息熵的乙肝后肝硬化证素提取及病机分析[J].世界中医药,2016,11(10):2172-2175,2179.
- [14] 王月亮,陈 凯,李 慧,等. 星点设计-响应面法优化石 菖蒲挥发油羟丙基-β-环糊精的包合工艺[J]. 中国实验方 剂学杂志, 2016, 22(11); 20-24.
- [15] 郭宜城, 谭志江, 丁志军, 等. Box-Behnken 设计-效应面 法优化荆防止痒颗粒中挥发油提取工艺[J]. 中国实验方 剂学杂志, 2015, 21(11): 32-35.
- [16] 谷民举, 鞠建峰, 朱宗敏. 星点设计-效应面法优化荆芥穗 黄酮类成分的提取工艺[J]. 中国实验方剂学杂志, 2015, 21(8): 29-33.
- [17] 高天曙,赵义红,王会丽. Box-Benhnken 响应面分析法优 化金银花药材中绿原酸与木犀草苷的提取工艺[J]. 中成 药,2014,36(10):2211-2215.